
Lucrarea 9

Sinteza Dispozitivelor de Înmulțire Booth

Această lucrare extinde sinteza dispozitivelor de înmulțire în vederea obținerii unei penalități minimale asupra performanței dictată de operațiile de adunare. Algoritmul lui Booth, împreună cu varianta sa modificată, aduc îmbunătățiri semnificative procedurii lui Robertson, cu prețul unei investiții hardware pentru realizarea operațiilor de adunare/scădere.

Algoritmul lui Robertson se bazează pe o observație legată de reprezentarea numerelor în complement de 2. Această observație implică însă o penalitate în ceea ce privește performanța, fiind presupusă activarea de n ori a sumatorului paralel pentru numere reprezentate pe n biți, ceea ce afectează negativ timpul total de înmulțire.

De aceea s-a pus problema găsirii unei metode de accelerare care să depindă de particularitățile configurației binare particulare a înmulțitorului, și anume, dacă înmulțitorul prezintă porțiuni constituite din șiruri de „0” sau de „1” atunci se poate beneficia de metoda lui Booth în vederea surmontării penalității de performanță care apare în mod tipic în cazul procedurii lui Robertson.

$$X = \dots X^* \dots$$

$$X^* = x_i x_{i+1} \dots x_{i+k-1} x_{i+k} x_{i+k+1} = 011 \dots 110$$

a row of 1s

Fără a pierde din generalitate să admitem că X este un număr fracționar și vom spune că aportul lui X^* la $X \cdot Y$ este dat de următoarea relație:

Se observă că se realizează doar două activări ale sumatorului paralel.

Dacă avem x_i, x_{i-1} biți ai înmulțitorului și dacă aceștia sunt 01, sugerând că înmulțitorul este parcurs de la stânga la dreapta, atunci în vederea obținerii produsului se efectuează o adunare a lui Y la produsul parțial. Dacă x_i, x_{i-1} sunt 10 atunci se efectuează o scădere a lui Y din produsul parțial, iar în situația în care cei doi biți sunt 00 sau 11, ne aflăm pe parcursul baleierii unui șir de 1 sau 0 și atunci nu este necesară efectuarea vreunei operații. Algoritmul lui Booth este echivalent cu o recodificare a înmulțitorului într-o formă specială (signed digit form), în care se utilizează 3 simboluri și anume: 1 când se face o adunare (când cei doi biți adiacenți consultați sunt 01), 0 când sunt 00 sau 11 și $\bar{1}$ când sunt 10.

De exemplu:

$$X = -\frac{79}{128}; X_{SM} = 1.1001111; X_{C2} = 1.0110001|0;$$

$$X^* = \bar{1}10\bar{1}00\bar{1}\bar{1} = -\frac{1}{2^7} + \frac{1}{2^6} - \frac{1}{2^4} + \frac{1}{2} - 1$$

În reprezentarea în complement de 2 a numărului, pentru a putea lua în considerare și ultimul bit, se mai consideră implicit un bit de "bordare" având valoarea logică 0 (cel de după bara verticală). Algoritmul lui Booth are următoarea formă în limbajul de descriere Hayes:

```
Booth multiplier(in:INBUS;out:OUTBUS);
```

```
register A[7:0],Q[7:-1],M[7:0],COUNT[2:0];
```

```
bus INBUS[7:0],OUTBUS[7:0];
```

```
BEGIN : A:=0, COUNT:=0,
```

```
INPUT : M:=INBUS; {c0}
```

```
Q:=INBUS, Q[-1]:=0; {c1}
```

```
SCAN : if Q[0]Q[-1]=0 then A[7:0] := A[7:0] +
M[7:0], goto TEST; {c2}
```

```
else if Q[0]Q[-1]=10 then A[7:0]:=A[7:0]-M[7:0];
{c2,c3}
```

```
TEST : if COUNT=1 then goto OUTPUT, RSHIFT:
A[7]:=A[7], A[6:0].Q:=A.Q[7:-1],
COUNT:=COUNT+1, goto SCAN; {c4}
```

```

OUTPUT: OUTBUS:=A, Q[0]:=0; {c5}
OUTBUS:=Q; {c6}
END. end Booth multiplier {END}

```

Schema se ușor mai complicată față de Robertson pentru că acum trebuie efectuate atât adunări cât și scăderi, deci este necesară existența unui sumator-scăzător complet. Arhitectura este prezentată în Figura 8-1.

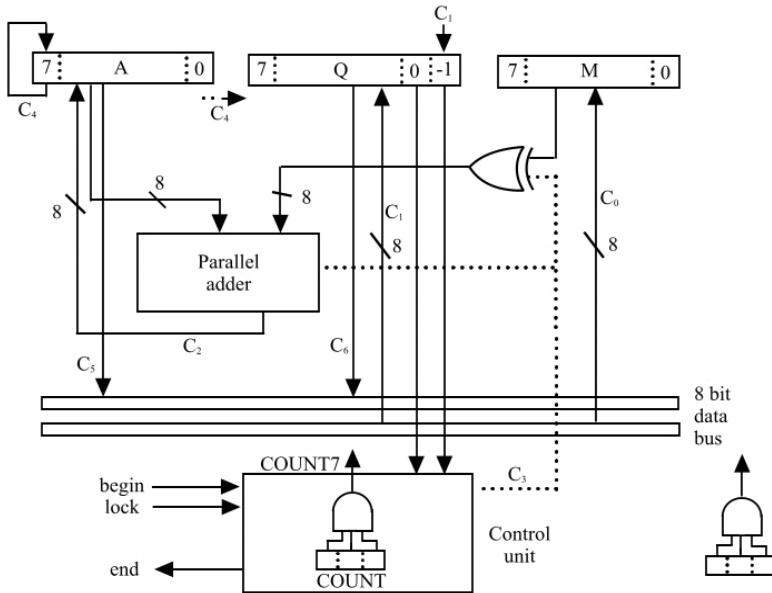


Figura 8-1. Platforma hardware pentru un dispozitiv de înmulțire Booth

Algoritmul lui Booth modificat

Când înmulțitorul este format din alternanțe de 1 și 0 nu se beneficiază de observația lui Booth ci se înrăutățește per global performanța înmulțitorului, astfel încât s-a ajuns la algoritmul lui Booth modificat. La acest algoritm se ia în considerare situația de „0 izolat” respectiv de „1 izolat” și în cazul unui „0 izolat” se efectuează doar 0 scădere, iar în cazul lui „1 izolat” se efectuează doar o adunare. Dacă avem biții:

$$\dots x_i x_{i+1} x_{i+2} \dots = \dots 101 \dots$$

$$\dots x_i x_{i+1} x_{i+2} \dots = \dots 1 \quad 0 \quad 1 \dots$$

$$-2^{-i} + 2^{-(i+1)} (2-1) = -2^{-(i+1)}$$

această situație corespunde unui 0 izolat, ceea ce înseamnă că va fi necesară efectuarea doar unei scăderi.

Dacă avem biții:

$$\dots x_i x_{i+1} x_{i+2} \dots = \dots 010 \dots$$

$$\dots x_i x_{i+1} x_{i+2} \dots = \dots 0 \quad 1 \quad 0 \dots$$

$$2^{-i} - 2^{-(i+1)} = 2^{-(i+1)}$$

această situație corespunde unui 1 izolat, ceea ce înseamnă că va fi necesară efectuarea doar unei adunări.

Se spune că se apelează la o nouă recodificare, canonică, a înmulțitorului, care se efectuează prin intermediul unui fanion (flag) F. Acesta va fi inițial pus pe 0 și 1 se va modifica valoare doar dacă la parcurgerea de la dreapta spre stânga al înmulțitorului se întâlnește un șir de 1 (2 sau mai mulți biți având valoarea 1) și va fi repus pe 0 doar dacă se întâlnește un șir de 0 (2 sau mai mulți biți având valoarea 0). Dacă atribuim flag-ului F o valoare booleană, recodificarea Booth canonică se efectuează pe baza Tabelului 9-1:

x_3	x_2	x_1	x_0	x'_3	x'_2	x'_1	x'_0	H_3	D_3	H_2	D_2	H_1	D_1	H_0	D_0
0	0	0	0	0	0	0	0	0	0	0	0	0	0	0	0
0	0	0	1	0	0	0	1	0	0	0	0	0	0	1	0
0	0	1	0	0	1	1	0	0	0	0	0	1	0	0	0
0	0	1	1	0	1	0	$\bar{1}$	0	0	1	0	0	0	1	1
0	1	0	0	0	1	0	0	0	0	1	0	0	0	0	0
0	1	0	1	0	1	0	1	0	0	1	0	0	0	1	0
0	1	1	0	1	0	$\bar{1}$	0	1	0	0	0	1	1	0	0
0	1	1	1	1	0	0	$\bar{1}$	1	0	0	0	0	0	1	1
1	0	0	0	$\bar{1}$	0	0	0	1	1	0	0	0	0	0	0
1	0	0	1	$\bar{1}$	0	0	$\bar{1}$	1	1	0	0	0	0	1	0
1	0	1	0	$\bar{1}$	0	1	0	1	1	0	0	1	0	0	0
1	0	1	1	0	$\bar{1}$	0	$\bar{1}$	0	0	1	1	0	0	1	1
1	1	0	0	0	$\bar{1}$	0	0	0	0	1	1	0	0	0	0
1	1	0	1	0	1	0	1	0	0	1	1	0	0	1	0
1	1	1	0	0	0	$\bar{1}$	0	0	0	0	0	1	1	0	0

1	1	1	1	0	0	0	1	0	0	0	0	0	0	1	1
---	---	---	---	---	---	---	---	---	---	---	---	---	---	---	---

Tabelul 9-1: Recodificarea Booth canonică

De exemplu, recodificarea canonică a aceleiași număr rezultă în felul următor:

$$X_{c2} = 1|10110001$$

$$X^{**} = 0\bar{1}0\bar{1}0001 = -\frac{1}{2} - \frac{1}{2^3} + \frac{1}{2^7} = -\frac{79}{128}$$

$$F = 11110000|0$$

În limbajul de descriere Hayes algoritmul lui Booth modificat va arăta astfel:

modified Booth algorithm(in:INBUS;out:OUTBUS);

register A[7:0],Q[8:0],M[7:0],COUNT[2:0],F,OVR;

bus INBUS[7:0],OUTBUS[7:0];

BEGIN: A:=0, COUNT:=0, F:=0,

INPUT: M:=INBUS; {c0}

 Q[7:0]:=INBUS[7:0], Q[8]:=INBUS[7]; {c1}

ZEROTEST: if Q=0 then goto OUTPUT, if M ≠ 0 then goto SCAN,

 Q:=0, goto OUTPUT; {c2}

SCAN: if F=0 then begin

 if Q[0]Q[1]=01 then A[7:0]:=A[7:0]+M[7:0],
 OVR:= v ; {c3}

 if Q[0]Q[1]=11 then A[7:0]:=A[7:0]-M[7:0],
 OVR:= v , F:=1; end

 else goto TEST; {c3,c4,c5}

 if F=1 then begin

 if Q[0]Q[1]=00 then A[7:0]:=A[7:0]+M[7:0],
 OVR:= v , F:=0; {c3,c6}

 if Q[0]Q[1]=10 then A[7:0]:=A[7:0]-M[7:0],
 OVR:= v ; end {c3,c4}

TEST: if COUNT7=1 then go to OUTPUT;

RSHIFT: $A[7] = A[7] \cdot M[7] \cdot \overline{OVR} + F \cdot \overline{M[7]} + F \cdot M[7] \cdot OVR$,
 $A[6:0].Q := A.Q[8:1]$, COUNT:=COUNT+1, go to
 SCAN;{c7}

OUTPUT: OUTBUS:=A, Q[1]:=0; {c8}

 OUTBUS:=Q; {c9}

END. {end mBooth multiplier}.

Platforma hardware de tip Hayes este prezentată în Figura 9-2.

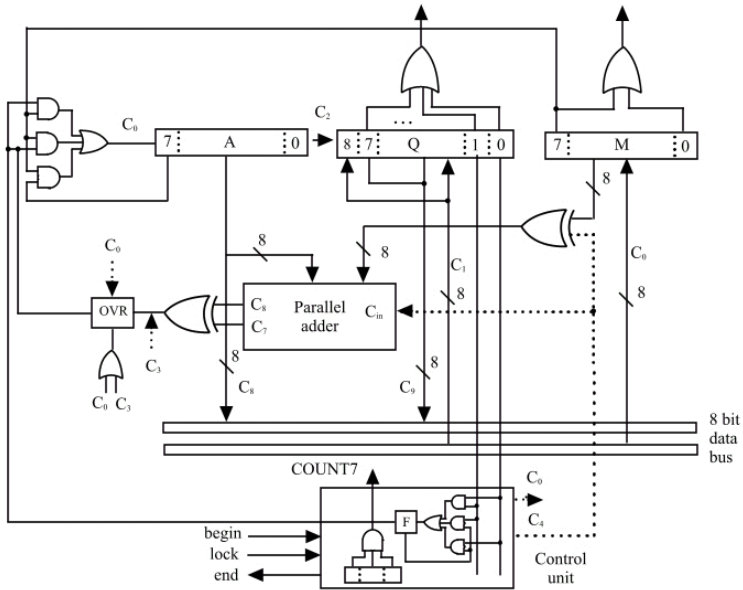


Figura 9-2. Platforma hardware pentru un dispozitiv de înmulțire Booth modificat

Pentru algoritmul lui Booth modificat rezultă ordinograma din Figura 9-3, în care s-a apelat la aglomerarea tuturor operațiilor care nu sunt mutual exclusive. Sinteza unității de control după metoda one-hot va fi realizată conform următoarelor ecuații:

$$S_0^+ = S_0 \cdot \text{Begin} + S_{10}$$

$$S_1^+ = S_0 \cdot \overline{\text{Begin}}$$

$$\begin{aligned}
S_2^+ &= S_1 \\
S_3^+ &= S_2 \cdot \overline{Q_{=0}} \cdot M_{=0} \\
S_4^+ &= \overline{F} \cdot \overline{Q_7} \cdot \overline{Q_6} \cdot (S_8 + S_2 \cdot \overline{Q_{=0}} \cdot \overline{M_{=0}}) \\
S_5^+ &= \overline{F} \cdot \overline{Q_7} \cdot \overline{Q_6} \cdot (S_8 + S_2 \cdot \overline{Q_{=0}} \cdot \overline{M_{=0}}) \\
S_6^+ &= \overline{F} \cdot \overline{Q_7} \cdot \overline{Q_6} \cdot (S_8 + S_2 \cdot \overline{Q_{=0}} \cdot \overline{M_{=0}}) \\
S_7^+ &= \overline{F} \cdot \overline{Q_7} \cdot \overline{Q_6} \cdot (S_8 + S_2 \cdot \overline{Q_{=0}} \cdot \overline{M_{=0}}) \\
S_8^+ &= \text{Count7} \cdot (S_4 + S_5 + S_6 + S_7 + \\
&\quad + (S_8 + S_2 \cdot \overline{Q_{=0}} \cdot \overline{M_{=0}}) \cdot (\overline{F} \cdot \overline{Q_7} + F \cdot Q_7)) \\
S_9^+ &= \text{Count7} \cdot (S_4 + S_5 + S_6 + S_7 + \\
&\quad + (S_8 + S_2 \cdot \overline{Q_{=0}} \cdot \overline{M_{=0}}) \cdot (\overline{F} \cdot \overline{Q_7} + F \cdot Q_7) + S_2 \cdot \overline{Q_{=0}} + S_3) \\
S_{10}^+ &= S_9
\end{aligned}$$

Prezentăm în continuare o parte a sintezei unității de control pentru un dispozitiv de înmulțire care operează după algoritmul lui Booth modificat conform metodei state table. Codificând fiecare stare cu $x_3x_2x_1x_0$, tabela de stări rezultă într-o manieră simplă și directă din ordinogramă și este prezentată în Figura 9-4.

Din tabela de stări rezultă tabelele de tranziții, prezentate pentru x_0 , respectiv x_1 , în Figura 9-5, respectiv Figura 9-6. După minimizare, rezultă următoarele ecuații pentru x_0 , respectiv x_1 :

$$\begin{aligned}
x_0^+ &= x_2 \cdot x_1 \cdot x_0 + x_3 \cdot x_1 \cdot x_0 \cdot \overline{Q_6} (F \oplus Q_7) + \text{Count7} \cdot x_2 + \\
&+ x_3 \cdot x_2 \cdot x_1 \cdot [\overline{Q_{=0}} + \overline{Q_{=0}} \cdot \overline{M_{=0}} + \overline{Q_{=0}} \cdot \overline{M_{=0}} (\dots)] + \\
&+ \text{Begin} \cdot x_3 \cdot x_2 \cdot x_1 \cdot x_0 + \text{Count7} \cdot (\overline{F} \cdot \overline{Q_7} + F \cdot Q_7) \cdot x_3 \cdot x_2 \cdot x_1 \cdot x_0 \\
x_1^+ &= x_2 \cdot x_1 \cdot x_0 + F \cdot \overline{Q_7} \cdot x_3 \cdot x_1 + \overline{Q_{=0}} \cdot (M_{=0} + \overline{M_{=0}} \cdot F \cdot \overline{Q_7}) \cdot x_3 \cdot x_2 \cdot x_1 \cdot x_0
\end{aligned}$$

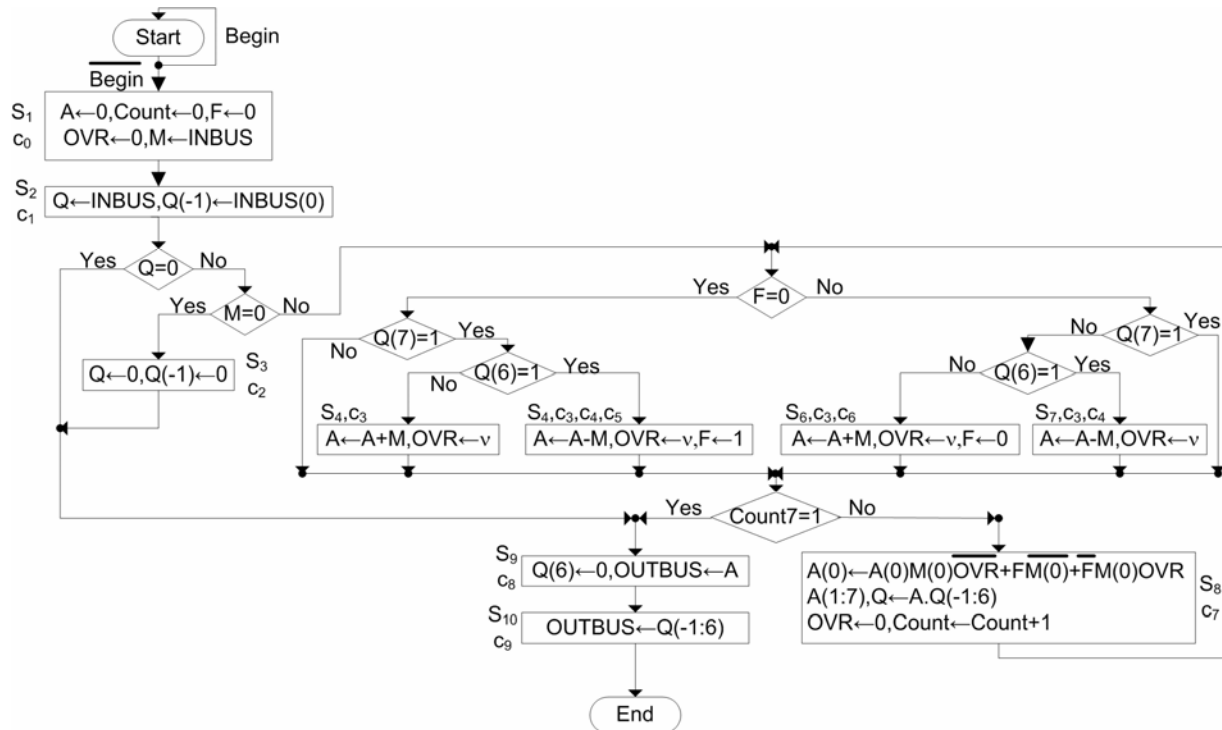


Figura 9-3. Ordinograma corespunzătoare algoritmului Booth modificat

		FQ ₆ Q ₇							
		000	001	011	010	110	111	101	100
	Begin								
S ₀	0					S ₁			
	1					S ₀			
S ₁						S ₂			
	Q ₌₀ M ₌₀ Count7								
S ₂	1 x x					S ₉			
	0 1 x					S ₃			
	0 0 0	S ₈	S ₄	S ₅	S ₈	S ₇	S ₈	S ₈	S ₆
	0 0 1	S ₉			S ₉		S ₉	S ₉	
S ₃		S ₉							
S ₄	Count7								
	0					S ₈			
S ₇	1					S ₉			
	Count7								
S ₈	0	S ₈	S ₄	S ₅	S ₈	S ₇	S ₈	S ₈	S ₆
	1	S ₉			S ₉		S ₉	S ₉	
S ₉		S ₁₀							
S ₁₀		S ₁₀							

Figura 9-4. Tabela de stări corespunzătoare algoritmului Booth modificat

	$x_3x_2x_1x_0$	FQ_6Q_7		
S ₀	0 0 0 0		Begin	
S ₁	0 0 0 <u>1</u>		0	
S ₃	0 0 1 <u>1</u>		1	
S ₂	0 0 1 0		$Q_{=0} + \overline{Q_{=0}}M_{=0} + \overline{Q_{=0}}M_{=0}(FQ_6Q_7 + FQ_6\overline{Q_7} + \text{Count7}(\overline{FQ_7} + FQ_7))$	
S ₆	0 1 1 0			Count7
S ₇	0 1 1 <u>1</u>			Count7
S ₅	0 1 0 <u>1</u>			Count7
S ₄	0 1 0 0			Count7
	1 1 0 0			d
	1 1 0 1			d
	1 1 1 1			d
	1 1 1 0			d
S ₁₀	1 0 1 0			0
	1 0 1 1		d	
S ₉	1 0 0 <u>1</u>		0	
S ₈	1 0 0 0	Count7	0	
		000	001	
		011	010	
		110	111	
		101	100	

Figura 9-5. Tabela de tranziții pentru x_0

	$x_3x_2x_1x_0$	FQ_6Q_7
S ₀	0000	0
S ₁	0001	1
S ₃	00 <u>11</u>	0
S ₂	00 <u>10</u>	$\overline{Q_{=0}}M_{=0} + \overline{Q_{=0}}M_{=0} + F\overline{Q_7}$
S ₆	01 <u>10</u>	0
S ₇	01 <u>11</u>	0
S ₅	0101	0
S ₄	0100	0
	1100	d
	1101	d
	1111	d
	1110	d
S ₁₀	10 <u>10</u>	0
	1011	d
S ₉	1001	1
S ₈	1000	$\overline{FQ_7}$

Figura 9-6. Tabela de tranziții pentru x_i